

## Динамика квантовых вихрей в квазидвумерном бозе-конденсате с двумя “дырами”

В. П. Рубан\*

Институт теоретической физики им. Л.Д. Ландау РАН,  
142432 Черноголовка, Московская область, Россия

(Dated: 3 мая 2019 г.)

Рассмотрена в гидродинамическом приближении динамика взаимодействующих квантовых вихрей в квазидвумерном пространственно неоднородном бозе-конденсате, равновесная плотность которого обращается в ноль в двух точках плоскости, в каждой из которых возможно наличие неподвижного вихря с несколькими квантами циркуляции. Выбран специальный класс профилей плотности, так что с помощью конформного отображения плоскости на цилиндр удастся аналитически вычислить поле скорости, создаваемое точечными вихрями. Уравнения движения представлены в неканонической гамильтоновой форме. Теория обобщена на случай, когда конденсат образует кривую квазидвумерную оболочку в трехмерном пространстве.

PACS numbers: 03.75.Kk, 67.85.De

**Введение.** Квантовые вихри и их динамика, как неотъемлемая часть физики бозе-конденсированных газов, стали предметом многочисленных исследований (см., например, [1–5] и ссылки там). Отдельного внимания в этой связи заслуживают квазидвумерные бозе-системы при нуле температуры, поскольку в них теория вихрей может быть относительно простой. Волновая функция конденсата, прижатого внешним трехмерным потенциалом к плоскости  $\mathbf{x} = (x, y)$ , после “отщепления” поперечной координаты, вдоль которой квантовое движение заморожено, подчиняется двумерному уравнению Гросса-Питаевского (возможно — с неоднородным нелинейным коэффициентом). Здесь вихри — нули волновой функции — всего лишь точки на плоскости в отличие от вихревых линий в трехмерных конденсатах. Циркуляция скорости вокруг каждого вихря равна  $\Gamma = 2\pi\hbar/m_{\text{atom}}$ . Математически аналогичные объекты давно известны также в нелинейной оптике (см. [6] и ссылки там). Их динамика обычно происходит на пространственно неоднородном фоне равновесной двумерной плотности  $\rho(\mathbf{x})$ , профиль которой в случае бозе-газа определяется потенциалом ловушки. Достаточно протяженный квазидвумерный конденсат в режиме Томаса-Ферми с хорошей точностью описывается классической гидродинамической теорией мелкой воды над неровным дном с глубиной  $h(\mathbf{x}) \propto \rho(\mathbf{x})$ . Для построения компактной теории взаимодействующих вихрей важно, что в пределе больших расстояний между ними и малых скоростей их движения, когда потенциальные возмущения несущественны, движение “точечных” вихрей в классической гидродинамике подчиняется неканоническим гамильтоновым уравнениям вида [7, 8]

$$\Gamma\sigma_n\rho(\mathbf{x}_n)\dot{x}_n = \frac{\partial H}{\partial y_n}, \quad -\Gamma\sigma_n\rho(\mathbf{x}_n)\dot{y}_n = \frac{\partial H}{\partial x_n}, \quad (1)$$

где  $\sigma_n = \pm 1$  в зависимости от положительной ли-

бо отрицательной ориентации  $n$ -го вихря,  $H(\{\mathbf{x}_n\})$  — гамильтониан (кинетическая энергия) системы как функция положения всех вихрей. Поле скорости при этом подчиняется условию  $\text{div}(\rho\mathbf{V}) = 0$ , так что в двумерном пространстве

$$\rho V_x = \partial_y \psi, \quad \rho V_y = -\partial_x \psi, \quad (2)$$

где  $\psi(\mathbf{x})$  — функция тока. Завихренность течения

$$\omega = \partial_x v_y - \partial_y v_x, \quad (3)$$

то есть функции  $\psi$  и  $\omega$  связаны линейным уравнением

$$-\nabla_{\mathbf{x}} \cdot \frac{1}{\rho(\mathbf{x})} \nabla_{\mathbf{x}} \psi(\mathbf{x}) = \omega(\mathbf{x}). \quad (4)$$

Для системы “точечных” вихрей завихренность

$$\omega(\mathbf{x}) \approx \Gamma \sum_n \sigma_n \delta(\mathbf{x} - \mathbf{x}_n). \quad (5)$$

Таким образом, естественно возникает необходимость вычислить функцию Грина, то есть решить уравнение [1–4, 6, 8]

$$-\nabla_{\mathbf{x}} \cdot \frac{1}{\rho(\mathbf{x})} \nabla_{\mathbf{x}} G(\mathbf{x}, \mathbf{x}_0) = 2\pi\delta(\mathbf{x} - \mathbf{x}_0). \quad (6)$$

Гамильтониан вихрей просто выражается через  $G(\mathbf{x}, \mathbf{x}_0)$ . Действительно, если плотность нигде не обращается в ноль, то

$$\begin{aligned} H &= \frac{1}{2} \int \rho \mathbf{V}^2 d^2\mathbf{x} = \frac{1}{2} \int \frac{(\nabla_{\mathbf{x}} \psi)^2}{\rho(\mathbf{x})} d^2\mathbf{x} \\ &= -\frac{1}{2} \int \psi \nabla_{\mathbf{x}} \cdot \frac{1}{\rho(\mathbf{x})} \nabla_{\mathbf{x}} \psi d^2\mathbf{x} = \frac{1}{2} \int \psi \omega d^2\mathbf{x} \\ &= \frac{\Gamma^2}{4\pi} \sum_n F(\mathbf{x}_n) + \frac{\Gamma^2}{4\pi} \sum'_{m,n} \sigma_n \sigma_m G(\mathbf{x}_n, \mathbf{x}_m). \end{aligned} \quad (7)$$

Здесь штрих у знака двойной суммы означает, что слагаемые с  $m = n$  должны быть пропущены. Диагональные слагаемые подвергаются регуляризации по

\*Electronic address: ruban@itp.ac.ru

причине логарифмической расходимости двумерной функции Грина при близких аргументах:

$$F(\mathbf{x}_n) = G(\mathbf{x}_n, \mathbf{x}_n + \mathbf{e}\xi(\mathbf{x}_n)), \quad (8)$$

где  $\xi(\mathbf{x})$  — ширина кора вихря, предположительно малая по сравнению с характерным масштабом неоднородности  $R_*$ . Как в теории мелкой воды, так и в уравнении Гросса-Питаевского (при условии, что эффективный нелинейный коэффициент — константа) размер  $\xi$  одинаково зависит от локальной плотности/глубины:

$$\xi(\mathbf{x}) = \xi_* [\rho_0/\rho(\mathbf{x})]^{1/2}, \quad \Lambda = \log(R_*/\xi_*) \gg 1. \quad (9)$$

Таким образом, задача вычисления гамильтониана системы точечных вихрей свелась к решению уравнения (6). Сделаем в нем подстановку

$$G(\mathbf{x}, \mathbf{x}_0) = \sqrt{\rho(\mathbf{x})} \sqrt{\rho(\mathbf{x}_0)} g(\mathbf{x}, \mathbf{x}_0), \quad (10)$$

мы приходим к уравнению вида [1, 3, 6]

$$[-\nabla_{\mathbf{x}}^2 + \tilde{\kappa}^2(\mathbf{x})]g(\mathbf{x}, \mathbf{x}_0) = 2\pi\delta(\mathbf{x} - \mathbf{x}_0), \quad (11)$$

где коэффициент

$$\tilde{\kappa}^2(\mathbf{x}) = \sqrt{\rho} \nabla_{\mathbf{x}}^2 \frac{1}{\sqrt{\rho}}. \quad (12)$$

Техническая трудность состоит в том, что только в немногих физически интересных случаях решения могут быть представлены в явном виде. В частности, если  $\tilde{\kappa}^2(\mathbf{x}) = \text{const} = \kappa^2$ , то возможные профили плотности даются выражением

$$\rho_\kappa = \left[ \int_0^{2\pi} C(\varphi) \exp(\kappa x \cos \varphi + \kappa y \sin \varphi) \frac{d\varphi}{2\pi} \right]^{-2}, \quad (13)$$

в котором  $C(\varphi)$  — произвольная неотрицательная функция. Любая из функций  $\rho_\kappa$  имеет единственный максимум и не обращается в ноль в конечных точках. При этом функция Грина есть

$$G_\kappa(\mathbf{x}_1, \mathbf{x}_2) = \sqrt{\rho_\kappa(\mathbf{x}_1)\rho_\kappa(\mathbf{x}_2)} K_0(\kappa|\mathbf{x}_1 - \mathbf{x}_2|), \quad (14)$$

где  $K_0(\dots)$  — соответствующая модифицированная функция Бесселя. Кроме этого класса профилей плотности, точная функция Грина найдена для линейной зависимости ( $\rho = x$  при  $x > 0$ ) в работе [3], а также для гауссовой плотности в работе [8].

Целью данной работы является рассмотрение еще одного, ранее не исследованного семейства зависимостей  $\rho(\mathbf{x})$ , для которого функция Грина находится точно. Поскольку теперь плотность будет обращаться в ноль не только на бесконечности, появится возможность поместить в конечные нулевые точки по несколько квантов циркуляции и детально изучить их влияние на движение вихрей.

Кроме того, здесь будет сделано обобщение теории на тот случай, когда квазидвумерный бозе-конденсат

не плоский, а расположен вдоль кривой поверхности в трехмерном пространстве (например, на сфере, эллипсоиде или на торе [9–12]). В классической гидродинамике аналогом такой ситуации является движение вихрей в океане переменной глубины на круглой планете. В отличие от подробно изученной динамики вихрей в однородном слое жидкости на кривых поверхностях (см. [13–18] и многочисленные ссылки там), последовательная теория вихрей в неоднородном кривом слое до сих пор отсутствовала.

**Модель конденсата с двумя “дырами”.** Итак, мы обращаемся к качественно более сложной по сравнению с (13) ситуации, когда плотность конденсата обращается в ноль в двух точках расширенной плоскости (сама плоскость плюс бесконечно удаленная точка). Чтобы иметь удобный для аналитического и численного исследования пример, определим комплексную переменную  $z = x + iy$  и рассмотрим следующий специальный класс профилей плотности с двумя “дырами”:

$$\rho(\mathbf{x}) = 4 \left( \left| \frac{Az}{1-Bz} \right|^\alpha + \left| \frac{1-Bz}{Az} \right|^\alpha \right)^{-2}, \quad (15)$$

где параметры  $\alpha > 0$ ,  $A > 0$ ,  $B \geq 0$ . Введем на плоскости  $\mathbf{x}$  криволинейные конформные координаты  $\mathbf{u} = (u, v)$  с помощью аналитической функции

$$u + iv \equiv w = \ln \left( \frac{Az}{1-Bz} \right). \quad (16)$$

Обратное отображение дается выражением

$$z = 1/[Ae^{-w} + B], \quad (17)$$

причем координаты  $(u, v)$  расположены на цилиндре:  $u \in (-\infty : +\infty)$ ,  $v \in [0 : 2\pi)$ . Якобиан этого отображения

$$J(\mathbf{u}) = \left| \frac{Ae^{-w}}{(Ae^{-w} + B)^2} \right|^2. \quad (18)$$

В новых координатах плотность задается формулой

$$\rho(\mathbf{u}) = \rho(u) = 1/\cosh^2(\alpha u). \quad (19)$$

Обезразмеренные уравнения движения вихрей в терминах  $\mathbf{u}_n$  имеют вид

$$\sigma_n J(\mathbf{u}_n) \rho(u_n) \dot{u}_n = \partial \tilde{H}_\alpha / \partial v_n, \quad (20)$$

$$-\sigma_n J(\mathbf{u}_n) \rho(u_n) \dot{v}_n = \partial \tilde{H}_\alpha / \partial u_n. \quad (21)$$

Уравнение на функцию Грина в конформных переменных сохраняет простую структуру

$$-\nabla_{\mathbf{u}} \cdot \frac{1}{\rho(u)} \nabla_{\mathbf{u}} G(\mathbf{u}, \mathbf{u}_0) = 2\pi\delta(\mathbf{u} - \mathbf{u}_0). \quad (22)$$

Оно дополняется  $2\pi$ -периодическими граничными условиями по координате  $v$ , нулевой асимптотикой при

$u \rightarrow +\infty$ , а также условием отсутствия циркуляции скорости вокруг точки  $z = 0$ , что означает

$$\lim_{u \rightarrow -\infty} \frac{\partial_u G(\mathbf{u}, \mathbf{u}_0)}{\rho(u)} = 0. \quad (23)$$

Решение находится путем подстановки

$$G(\mathbf{u}, \mathbf{u}_0) = \frac{g_\alpha(\mathbf{u}, \mathbf{u}_0)}{\cosh(\alpha u) \cosh(\alpha u_0)}. \quad (24)$$

Функция  $g_\alpha(\mathbf{u}, \mathbf{u}_0)$  удовлетворяет уравнению с постоянными коэффициентами,

$$[-\nabla_{\mathbf{u}}^2 + \alpha^2]g_\alpha(\mathbf{u}, \mathbf{u}_0) = 2\pi\delta(\mathbf{u} - \mathbf{u}_0). \quad (25)$$

Нужное решение есть

$$g_\alpha(\mathbf{u}, \mathbf{u}_0) = \mathbf{g}(u - u_0, v - v_0) + \frac{1}{2\alpha}e^{-\alpha(u+u_0)}, \quad (26)$$

где четная по обоим своим переменным функция  $\mathbf{g}(U, V)$  определяется быстро сходящейся бесконечной суммой

$$\mathbf{g}(U, V) = \sum_{l=-\infty}^{+\infty} K_0\left(\alpha\sqrt{U^2 + (V + 2\pi l)^2}\right). \quad (27)$$

Заметим, что при больших значениях  $|U|$  имеет место приближенное равенство  $\mathbf{g}(U, V) \approx \exp(-\alpha|U|)/2\alpha$ , которое позволяет легко убедиться в выполнении условия (23). При малых же значениях аргументов  $\mathbf{g}(U, V) \approx \ln(1/\sqrt{U^2 + V^2}) + \text{const}$ .

Таким образом, функция Грина равна

$$G(\mathbf{u}, \mathbf{u}_0) = \frac{\mathbf{g}(u - u_0, v - v_0)}{\cosh(\alpha u) \cosh(\alpha u_0)} + \frac{2/\alpha}{(1 + e^{2\alpha u})(1 + e^{2\alpha u_0})}. \quad (28)$$

Как мы увидим далее, наличие второго слагаемого приводит к интересным эффектам в динамике вихрей. В частности, приближение локальной индукции, которое хорошо работает для систем с функцией Грина типа (14), в данном случае оказывается совершенно непригодным.

**Гамильтониан.** Составляя гамильтониан вихрей с помощью найденной функции Грина, можно учесть наличие произвольного целого числа  $Q_0$  квантов циркуляции скорости вокруг точки  $z = 0$  путем соответствующего изменения асимптотического условия на функцию тока при  $u \rightarrow -\infty$ . Заметим также, что при  $B \neq 0$  несколько вихрей ( $|Q_\infty|$  штук) можно поместить в окрестность точки  $w_\infty = \ln(A/B) + i\pi$ , которая соответствует  $z = \infty$ . Поскольку якобин  $J$  там обращается в бесконечность, то из уравнений движения (20) и (21) следует, что эти вихри будут оставаться неподвижными в точке  $(u_\infty, \pi)$ . Тем самым можно добиться произвольных (целочисленных) значений  $Q_0$  и  $Q_1$  квантов циркуляции вокруг каждой из двух конечных нулевых точек плотности  $z_0 = 0$  и  $z_1 = 1/B$ , так

как целые числа  $Q_0$ ,  $Q_1$  и  $Q_\infty$  связаны между собой соотношением

$$Q_0 + Q_1 + Q_\infty + \sum_{n=1}^N \sigma_n = 0, \quad (29)$$

где  $N$  — число подвижных вихрей. В результате безразмерный гамильтониан дается выражением

$$\begin{aligned} \tilde{H}_\alpha^{\{N\}} &= \frac{1}{2} \sum_n \frac{\Lambda_0 + \ln[\sqrt{(J(\mathbf{u}_n)/J_0)}/\cosh(\alpha u_n)]}{\cosh^2(\alpha u_n)} \\ &+ \frac{1}{\alpha} \left\{ Q_0 + \frac{Q_\infty}{(1 + e^{2\alpha u_\infty})} + \sum_n \frac{\sigma_n}{(1 + e^{2\alpha u_n})} \right\}^2 \\ &+ \sum_{n,m}' \frac{\sigma_n \sigma_m}{2} \frac{\mathbf{g}(u_n - u_m, v_n - v_m)}{\cosh(\alpha u_n) \cosh(\alpha u_m)} \\ &+ Q_\infty \sum_n \sigma_n \frac{[\mathbf{g}(u_n - u_\infty, v_n - \pi)]}{\cosh(\alpha u_n) \cosh(\alpha u_\infty)}, \end{aligned} \quad (30)$$

где  $\Lambda_0 = \mathbf{g}(\xi_*/\sqrt{J(0)}, 0) \gg 1$  — большой логарифм. Для применимости этой формулы необходимо, чтобы все числители в первой сумме были не малы по сравнению с единицей. В противном случае приближение точечного вихря не работает.

Во всех численных примерах, представленных далее, мы полагаем  $\Lambda_0 = 7.0$ ,  $\alpha = 2.0$ , а все вихри имеют положительный знак, то есть  $\sigma_n = +1$ .

Чтобы увидеть качественное отличие данной системы от систем типа (13), рассмотрим для начала динамику единственного вихря. Соответствующий гамильтониан  $\tilde{H}_\alpha^{\{1\}}(u, v)$  определяется следующей формулой:

$$\begin{aligned} \tilde{H}_\alpha^{\{1\}} &\approx \frac{\Lambda_0 + u - \ln[\cosh(\alpha u)]}{2 \cosh^2(\alpha u)} \\ &+ \frac{\ln |(A + B)/(A + B e^{u+iv})|}{\cosh^2(\alpha u)} \\ &+ \frac{1}{\alpha} \left\{ Q_0 + \frac{Q_\infty}{(1 + e^{2\alpha u_\infty})} + \frac{\sigma}{(1 + e^{2\alpha u})} \right\}^2 \\ &+ Q_\infty \sigma \frac{\mathbf{g}(u - u_\infty, v - \pi)}{\cosh(\alpha u) \cosh(\alpha u_\infty)}. \end{aligned} \quad (31)$$

Траектории вихря на плоскости являются линиями уровня гамильтониана (31). Два примера фазовых портретов для различных наборов параметров  $A$ ,  $B$ ,  $Q_0$  и  $Q_1$  показаны на рисунке 1.

**Осесимметричный случай.** Если  $B = 0$ , то система становится осесимметричной: якобин  $J(u)$  не зависит от угловой координаты  $v = \phi$ , и гамильтониан вихрей (30) инвариантен относительно одновременного сдвига по всем переменным  $v_n$ . Поэтому появляется еще один интеграл движения, помимо гамильтониана — угловой момент

$$M = \sum_n \sigma_n \mu(u_n), \quad \mu(u) = \int_{-\infty}^u J(s) \rho(s) ds. \quad (32)$$

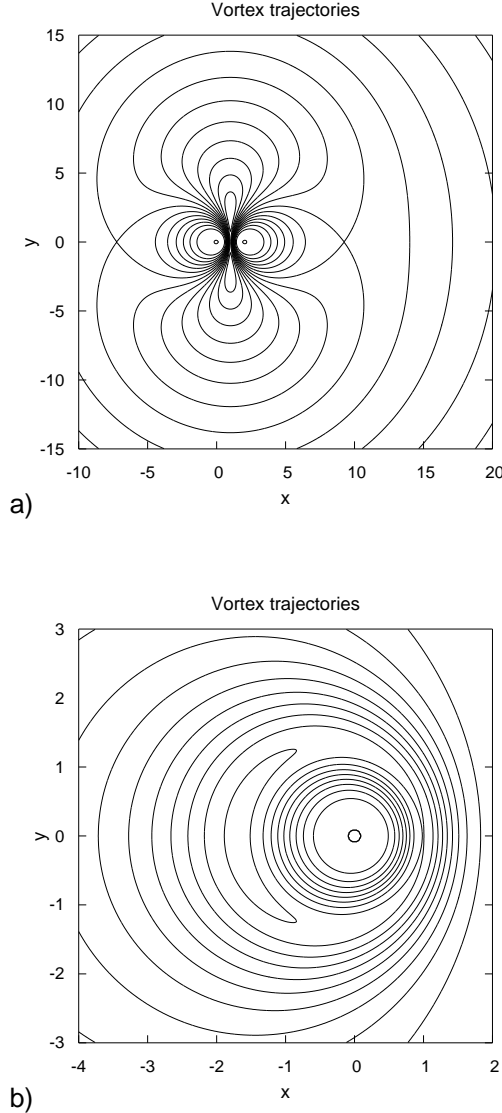


Рис. 1: Примеры траекторий одиночного вихря на плоскости для двух наборов параметров: а)  $A = B = 0.5$ ,  $Q_0 = 1$ ,  $Q_1 = 1$ , б)  $A = 0.8$ ,  $B = 0.2$ ,  $Q_0 = 1$ ,  $Q_1 = 0$ .

Можно без ограничения общности положить  $A = 1$ , и тогда

$$\mu(u) = \int_{-\infty}^u \frac{e^{2s} ds}{\cosh^2(\alpha s)} = -\frac{2}{\alpha} \frac{e^{2u}}{1 + e^{2\alpha u}} + \frac{2}{\alpha} \int_0^{e^{2u}} \frac{d\chi}{1 + \chi^\alpha}. \quad (33)$$

При рациональных значениях параметра  $\alpha$  последний интеграл выражается в элементарных функциях.

Наличие второго закона сохранения делает задачу движения двух вихрей интегрируемой. Примеры проекций фазовых траекторий системы двух вихрей на плоскость  $(\phi_2 - \phi_1, u_1)$  при фиксированном  $M$  пред-

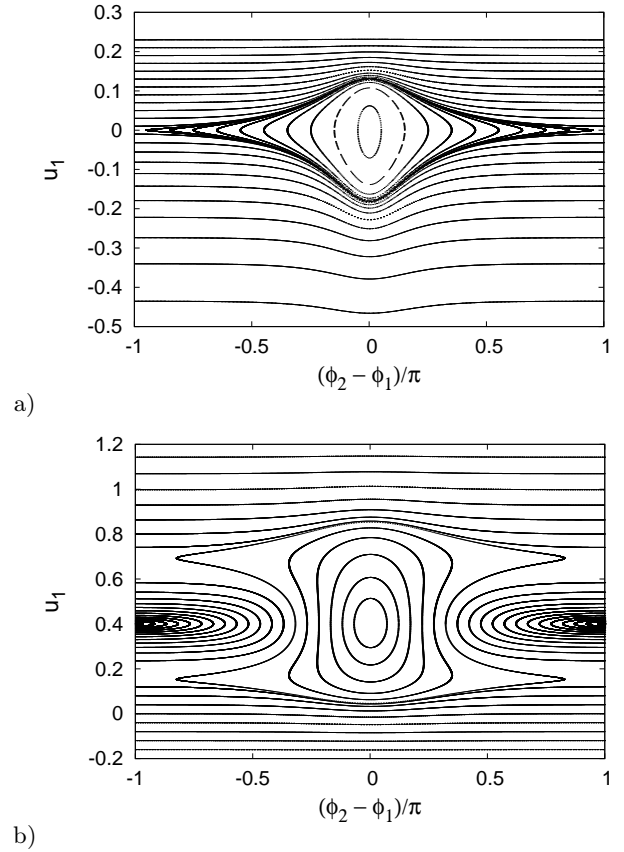


Рис. 2: Фазовые траектории двух вихрей при  $Q_0 = 0$  для двух значений углового момента: а)  $M = 2\mu(0)$ , б)  $M = 2\mu(0.4)$ .

ставлены на рисунках 2 и 3. В частности, из рисунка 2-а следует, что при  $Q_0 = 0$  диаметрально расположенные вихри вблизи максимума плотности находятся в неустойчивом относительном равновесии.

Кроме того, при осевой симметрии становятся возможными “твердотельно” вращающиеся конфигурации  $N$  вихрей, соответствующие локальным минимумам функции  $\tilde{H}_\alpha^{\{N\}} + \Omega M$ , где  $\Omega$  — угловая скорость вращения. Примеры показаны на рисунке 4. Видно, что не всегда в равновесии вихри располагаются вблизи концентрических окружностей.

Динамика при  $N \geq 3$  в широкой области начальных значений проявляет признаки хаоса. Хаотичность обусловлена формированием достаточно тесных и поэтому быстро вращающихся пар вихрей (одного знака). Сам факт образования пары, период ее существования, размер, фаза вращения и другие характеристики оказываются практически непредсказуемыми из-за взаимодействия с остальными вихрями. Численные примеры поведения пяти вихрей даны на рисунке 5.

**Вихри на кривой поверхности.** Можно представить себе ситуацию, когда трехмерный потенциал ловушки устроен в виде узкого кривого “ущелья”, так

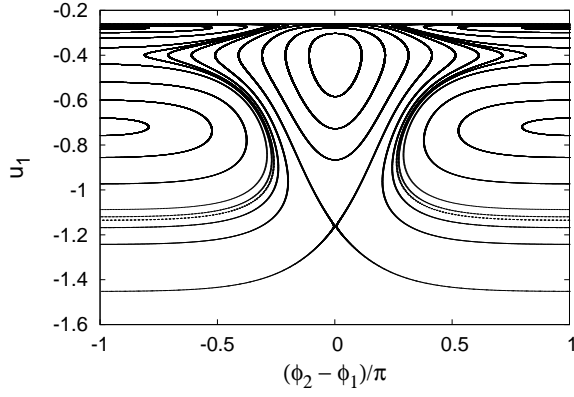


Рис. 3: Фазовые траектории двух вихрей при  $Q_0 = 12$ ,  $M = 2\mu(-0.4)$ .

что в равновесии бозе-конденсат оказывается (неравномерно) прижатым не к плоскости, как до сих пор предполагалось, а образует относительно тонкий слой вблизи некоторой искривленной поверхности в трехмерном пространстве [9–11]. В частности, были экспериментально реализованы оболочки эллипсоидальной формы [12]. Интересным обобщением вышеприведенной теории является описание динамики квантовых вихрей в подобных системах, если понимать переменные  $u$  и  $v$  как конформные координаты на кривой поверхности  $\mathbf{r} = \mathbf{S}(u, v)$ . Нетрудно убедиться в том, что уравнения движения (20) и (21) для  $u_n$  и  $v_n$  сохраняют свою структуру, равно как и гамильтониан (30) [с возможным ограничением  $Q_\infty = 0$  – в зависимости от типа поверхности]. Существенная разница состоит в том, что функция  $J(\mathbf{u})$  теперь не является квадратом модуля аналитической функции  $z'(w)$ , а представляет собой достаточно произвольный конформный фактор. Другими словами, метрика на поверхности есть

$$(d\mathbf{S})^2 = J(\mathbf{u})(du^2 + dv^2), \quad (34)$$

а гауссова кривизна поверхности дается известной формулой дифференциальной геометрии:

$$\mathcal{K}(\mathbf{u}) = -\frac{1}{2J(\mathbf{u})}\nabla_{\mathbf{u}}^2 \ln[J(\mathbf{u})]. \quad (35)$$

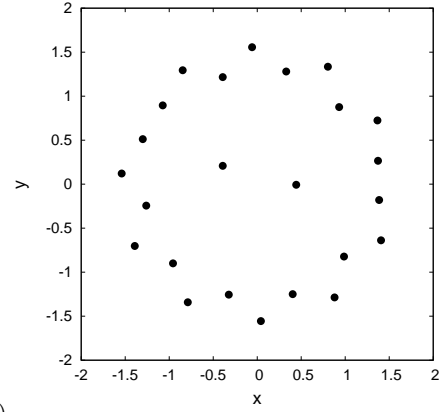
Рассмотрим в качестве примера единичную сферу, стереографическая проекция которой на плоскость определяется формулой

$$z + c = \tan(\Theta/2)e^{i\Phi}, \quad (36)$$

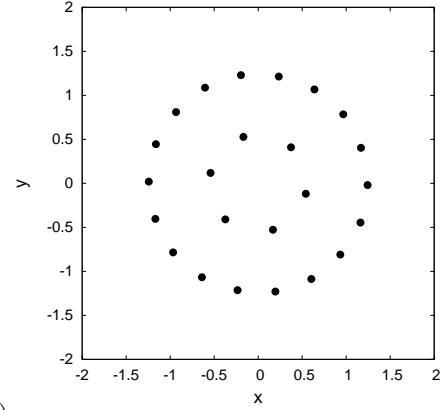
где  $\Theta$  – полярный угол на сфере,  $\Phi$  – азимутальный угол,  $c$  – произвольная комплексная константа. При этом конформный фактор в переменных  $\mathbf{x}$  есть

$$J(\mathbf{x}) = 4/(1 + |x + iy + c|^2)^2. \quad (37)$$

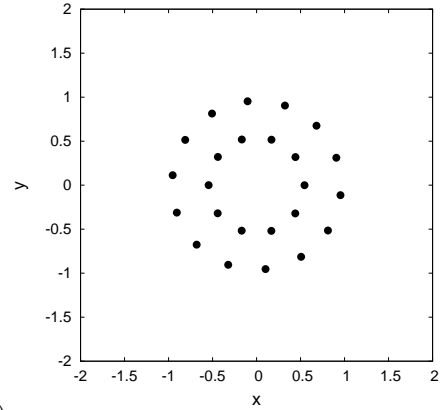
Заметим попутно, что именно такой множитель должен быть добавлен в левые части уравнений (1), если для описания динамики вихрей на сфере выбраны



a)



b)



c)

Рис. 4: Примеры стационарно вращающихся конфигураций  $N = 24$  вихрей при  $Q_0 = 12$  с разными угловыми скоростями: а)  $\Omega = 15$ , б)  $\Omega = 20$ , в)  $\Omega = 30$ .

переменные  $x$  и  $y$ . Соответственно, с использованием  $J(\mathbf{x})$  должны быть регуляризованы логарифмически расходящиеся члены в гамильтониане.

Конформный фактор в переменных  $\mathbf{u}$  равен произведению  $J(\mathbf{x}(\mathbf{u})) \cdot |z'(w)|^2$ , что в нашем случае дает

$$J(\mathbf{u}) = \frac{4A^2 e^{-2u}}{\{|Ae^{-w} + B|^2 + |c(Ae^{-w} + B) + 1|^2\}^2}. \quad (38)$$

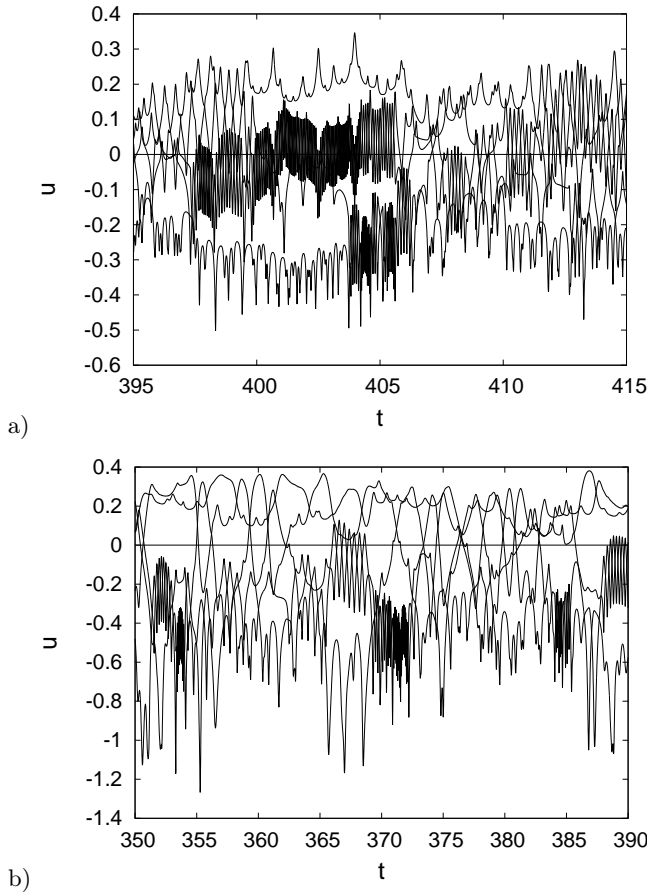


Рис. 5: Хаотическая динамика 5-и вихрей при: а)  $Q_0 = 0$ , б)  $Q_0 = 12$ .

Поскольку в бесконечность это выражение нигде не обращается, то все вихри на сфере при конечных  $u$  являются подвижными и поэтому в гамильтониане (30) должно быть  $Q_\infty = 0$ .

Формула (38) сильно упрощается при  $B = 0$ ,  $c = 0$ ,

то есть при наличии осевой симметрии:

$$J(\mathbf{u}) = \frac{4A^2 e^{-2u}}{(A^2 e^{-2u} + 1)^2} = \frac{1}{\cosh^2(u - u_{\text{eq}})}, \quad (39)$$

причем  $u = u_{\text{eq}}$  соответствует экватору. Как и в плоском случае, осевая симметрия подразумевает сохранение углового момента, но на сфере  $M$  определяется другим выражением:

$$M = \sum_n \sigma_n \int_{-\infty}^{u_n} \frac{ds}{\cosh^2(\alpha s) \cosh^2(s - u_{\text{eq}})}. \quad (40)$$

Интересно отметить, что даже в случае  $u_{\text{eq}} = 0$ , когда профиль двумерной плотности симметричен относительно экваториальной плоскости, гамильтониан нечетного числа вихрей все равно не обладает симметрией по отношению к замене  $u_n \rightarrow -u_n$ , поскольку целочисленные кванты циркуляции скорости вокруг полюсов не могут быть равными из-за условия  $Q_{\text{North}} + Q_{\text{South}} + \sum_n \sigma_n = 0$ .

**Закключение.** Таким образом, в данной работе предложена новая, относительно простая, математически удобная и довольно “богатая” модель, которая позволяет далеко продвинуться в понимании механики вихрей в пространстве неоднородных двумерных системах. Приведен ряд содержательных численных примеров. Меняя параметры модели, можно будет исследовать еще многие другие ситуации, приближенно соответствующие различным реальным экспериментам. В частности, за рамками данной статьи остались нелинейные колебания многих вихрей вблизи стационарных конфигураций, а также динамика противоположно ориентированных вихрей.

По всей видимости, многие качественные свойства найденной здесь модельной функции Грина имеют место и для более широкого класса зависимостей  $\rho(u)$ , когда в уравнении (25)  $\alpha^2 \neq \text{const}$ . Этот вопрос нуждается в отдельном исследовании.

- 
- [1] A. A. Svidzinsky and A. L. Fetter, Phys. Rev. A **62**, 063617 (2000).
  - [2] A. L. Fetter and A. A. Svidzinsky, J. Phys.: Condens. Matter **13**, R135 (2001).
  - [3] J. R. Anglin, Phys. Rev. A **65**, 063611 (2002).
  - [4] D. E. Sheehy and L. Radzihovsky, Phys. Rev. A **70**, 063620 (2004).
  - [5] A. L. Fetter, Rev. Mod. Phys. **81**, 647 (2009).
  - [6] B. Y. Rubinstein and L. M. Pismen, Physica D **78**, 1 (1994).
  - [7] V. P. Ruban, Phys. Rev. E **64**, 036305 (2001).
  - [8] В. П. Рубан, ЖЭТФ **151**, ??? (2017); arXiv:1612.00165.
  - [9] O. Zobay and B. M. Garraway, Phys. Rev. Lett. **86**, 1195 (2001).
  - [10] O. Zobay and B. M. Garraway, Phys. Rev. A **69**, 023605 (2004).
  - [11] T. Fernholz, R. Gerritsma, P. Krüger, and R. J. C. Spreeuw, Phys. Rev. A **75**, 063406 (2007).
  - [12] B. E. Sherlock, M. Gildemeister, E. Owen, E. Nugent, and C. J. Foot, Phys. Rev. A **83**, 043408 (2011).
  - [13] D. G. Dritschel and S. Boatto, Proc. R. Soc. A **471**: 20140890 (2015).
  - [14] P. K. Newton, Theor. Comput. Fluid Dyn. **24**, 137 (2010).
  - [15] R. B. Nelson and N. R. McDonald, Theor. Comput. Fluid Dyn. **24**, 157 (2010).
  - [16] Y. Kimura, Proc. R. Soc. A **455**, 245 (1999).
  - [17] A. Surana and D. Crowdy, J. Comput. Phys. **277**, 6058 (2008).
  - [18] A. M. Turner, V. Vitelli, and D. R. Nelson, Rev. Mod. Phys. **82**, 1301 (2010).